

Inundação por tsunami de origem sísmica na cidade de Lisboa

Simulação determinística



LISABON oder Ruinen dieser Mächtig- und Prächtig geworden Stadt, wie selbige den 1. November 1755, an dem Fest Aller - Heil - ligen, durch eine erschreckliche Erd - Erschütterung ausgesetzen und sich in größtem Jammer befinden hat, nach denen von dazuer erhaltenen Schreiben, exact abgebildet. LISABON war, wie hier vor Augen liegt, den Nov 1755, am Morgen prächtigst, am Abend aber erschrecklichst anzusehen. Weil wegen diesem, nach nie also erlebten Unglück, die Zeit sehr viele Treffliche Kriegs - Reden und andre Schriften in gebundner und ungebundner Rede, in dem Trax erschienen sind, so können diese Vorstellungen zu einichen derselben wohl dienen.

Rui M.L. Ferreira^(*) Daniel Conde^(*)

(*) Instituto Superior Técnico, Universidade de Lisboa

Mapa da perigosidade de inundação por tsunami de origem sísmica na cidade de Lisboa

Trabalho realizado para a CML por uma equipa multidisciplinar coordenada pela professora **Maria Ana Baptista do Instituto Dom Luiz, Faculdade de Ciências da Universidade de Lisboa.**

A equipa envolveu três instituições:



- O Instituto Português do Mar e da Atmosfera (IPMA),



- O Instituto Dom Luiz da Universidade de Lisboa, e



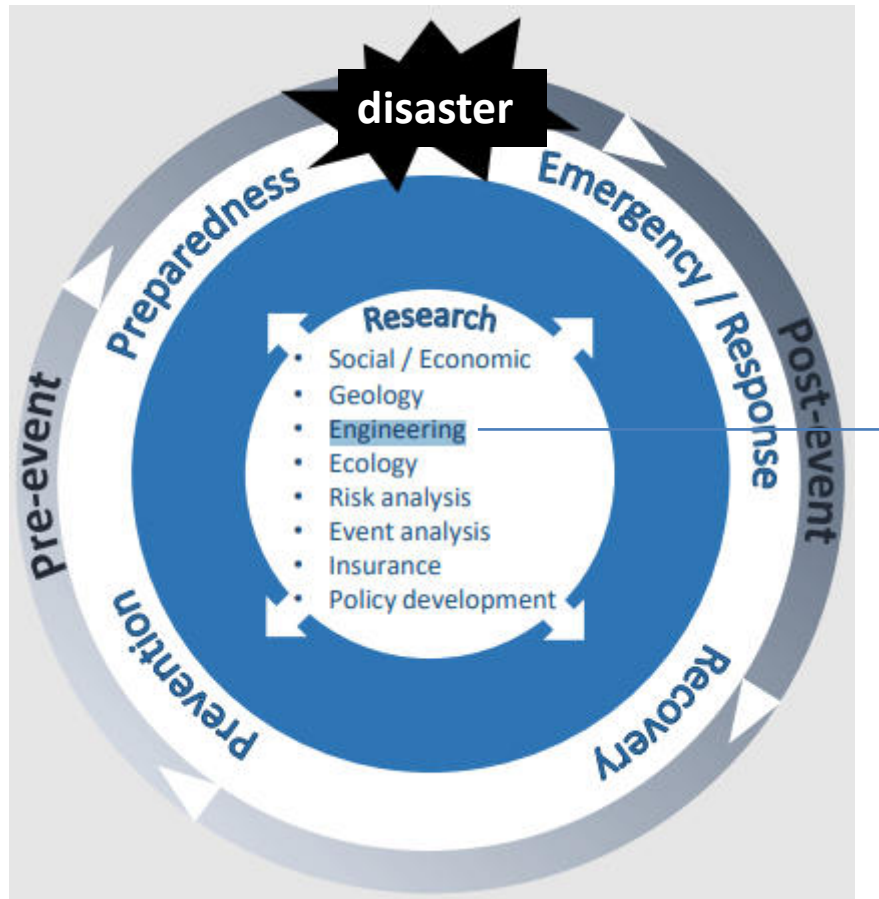
- O Instituto Superior Técnico

O projecto

Equipa

CERIS :

Civil Engineering Research
and Innovation for
Sustainability



Ciclo da **gestão do risco de desastres naturais**

(adaptado de Aguirre-Ayerbe et al. 2018 Nat Haz Earth Syst Sci)

Sendai Framework

("understanding", "build back better")

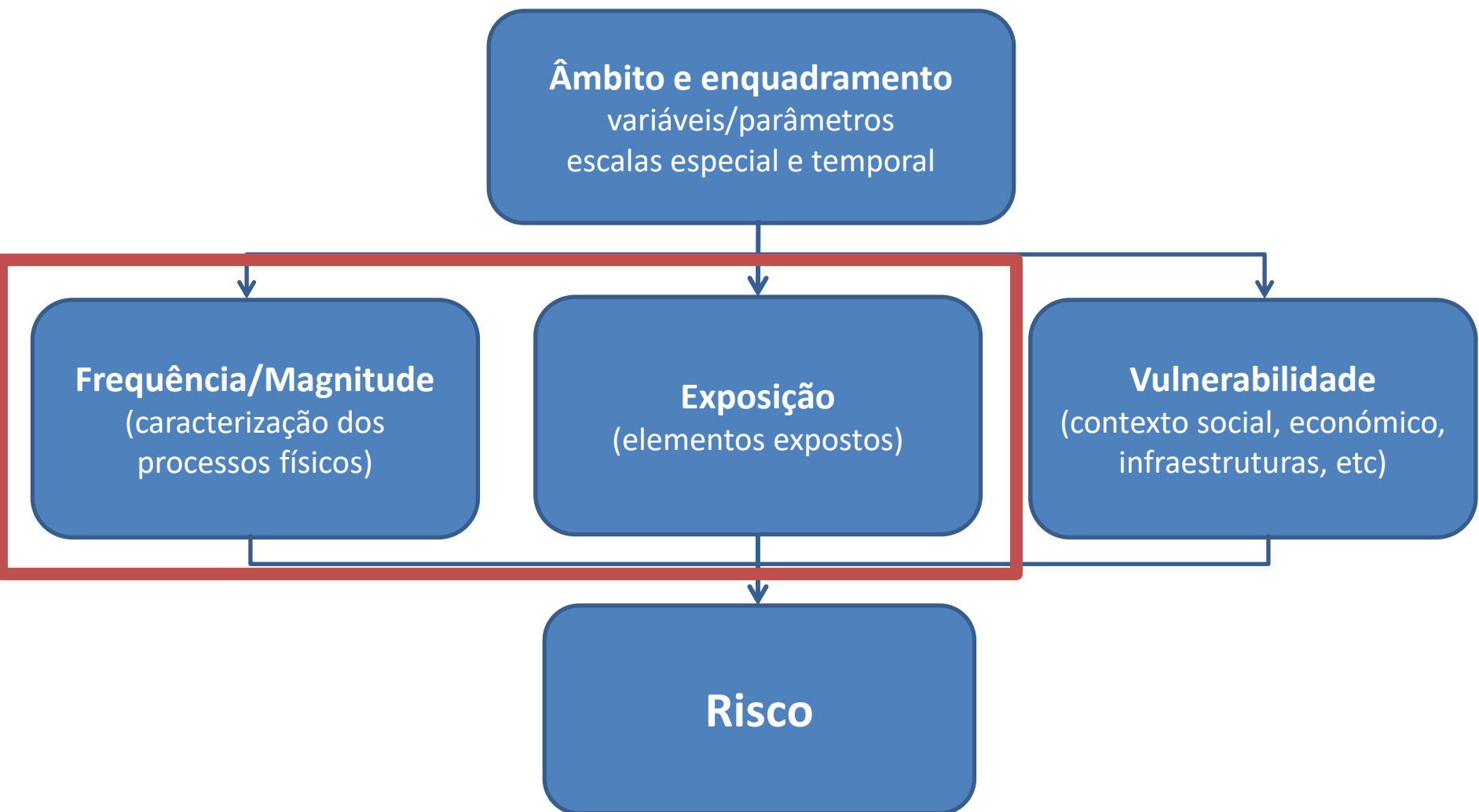
A nossa contribuição:

Desenvolvimento de ferramentas baseadas na física dos processos de transporte (hidrodinâmica e transporte de sólidos)

Aplicação dessas ferramentas no contexto do planeamento ou resposta operacional

O projecto

Mapa da perigosidade de inundação por tsunami de origem sísmica na cidade de Lisboa



O projecto

Mapa da perigosidade de inundação por tsunami de origem sísmica na cidade de Lisboa – permite respostas a

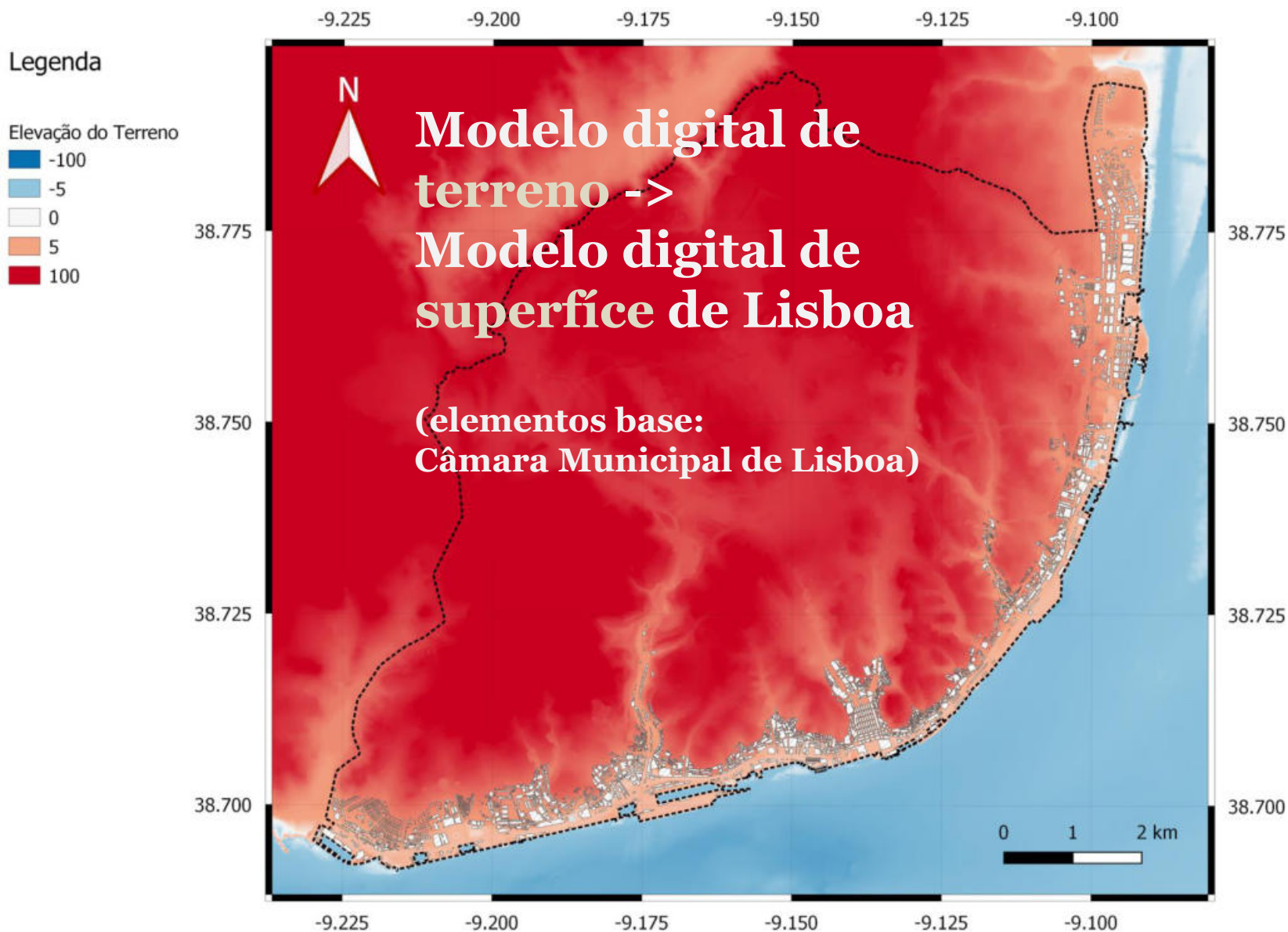
- **Que rotas de fuga?**
- **Que pontos de encontro? A que cotas? Em edifícios? Quais?**
- **A que cotas se podem colocar equipamentos críticos?**
- **Há infraestruturas viárias em risco (comboio, metropolitano, etc)?**
- **Há património exposto?**
- **E a “minha” rua?**

Simulação matemática da inundação por tsunami de origem sísmica na cidade de Lisboa

Definição dos elementos de base
(batimetria, altimetria, geometria do edificado)

Simulação determinística

elementos de base – MDT de elevada precisão

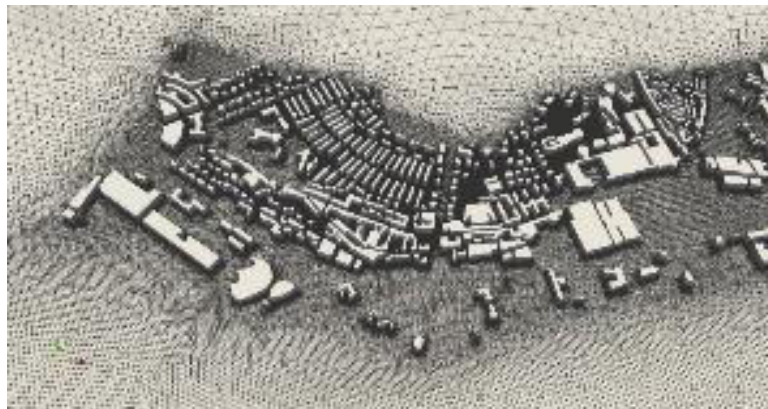


Simulação determinística

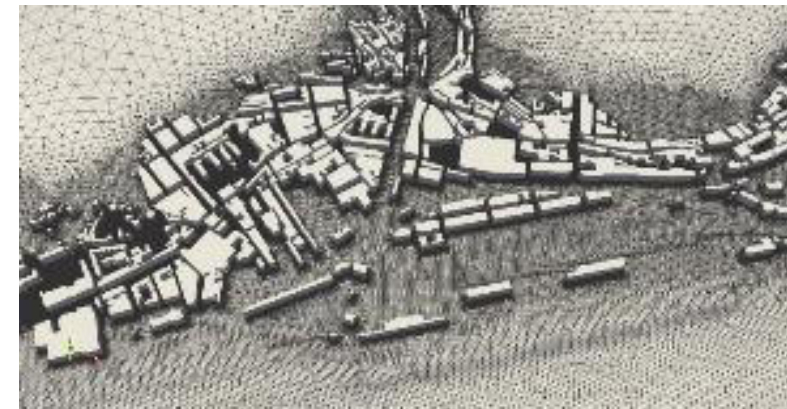
elementos de base – MDS com alta resolução espacial

Modelo digital de superfície de Lisboa – descrição espacial à escala da rua/edifício

Pedrouços - Belém



Alcântara



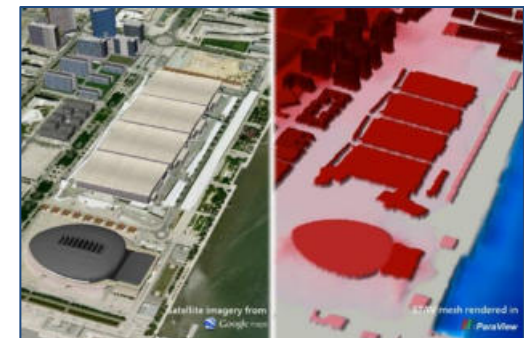
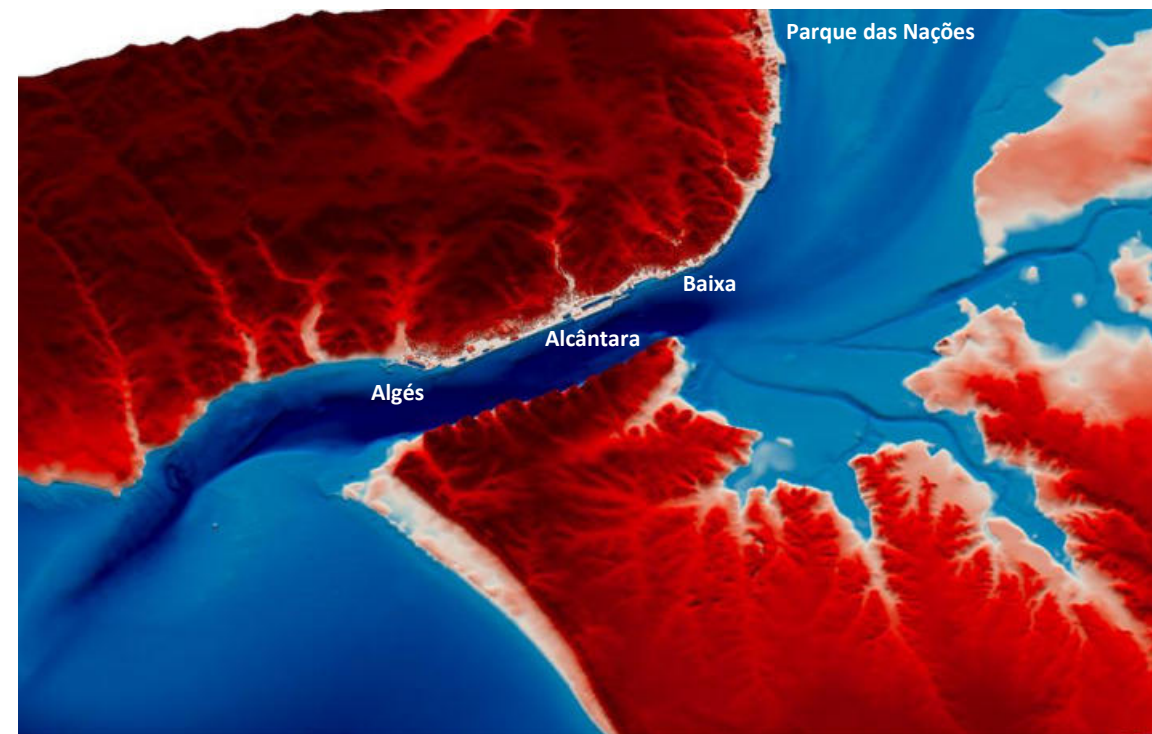
Baixa



Parque das Nações

Simulação determinística

elementos de base - resolução espacial



Parque das Nações

DTM – resolução de 1 m,
precisão de 5 cm



Algés



Alcântara (Harbour)



Baixa

Simulação matemática da inundação por tsunami de origem sísmica na cidade de Lisboa

(Condições iniciais e de fronteira)

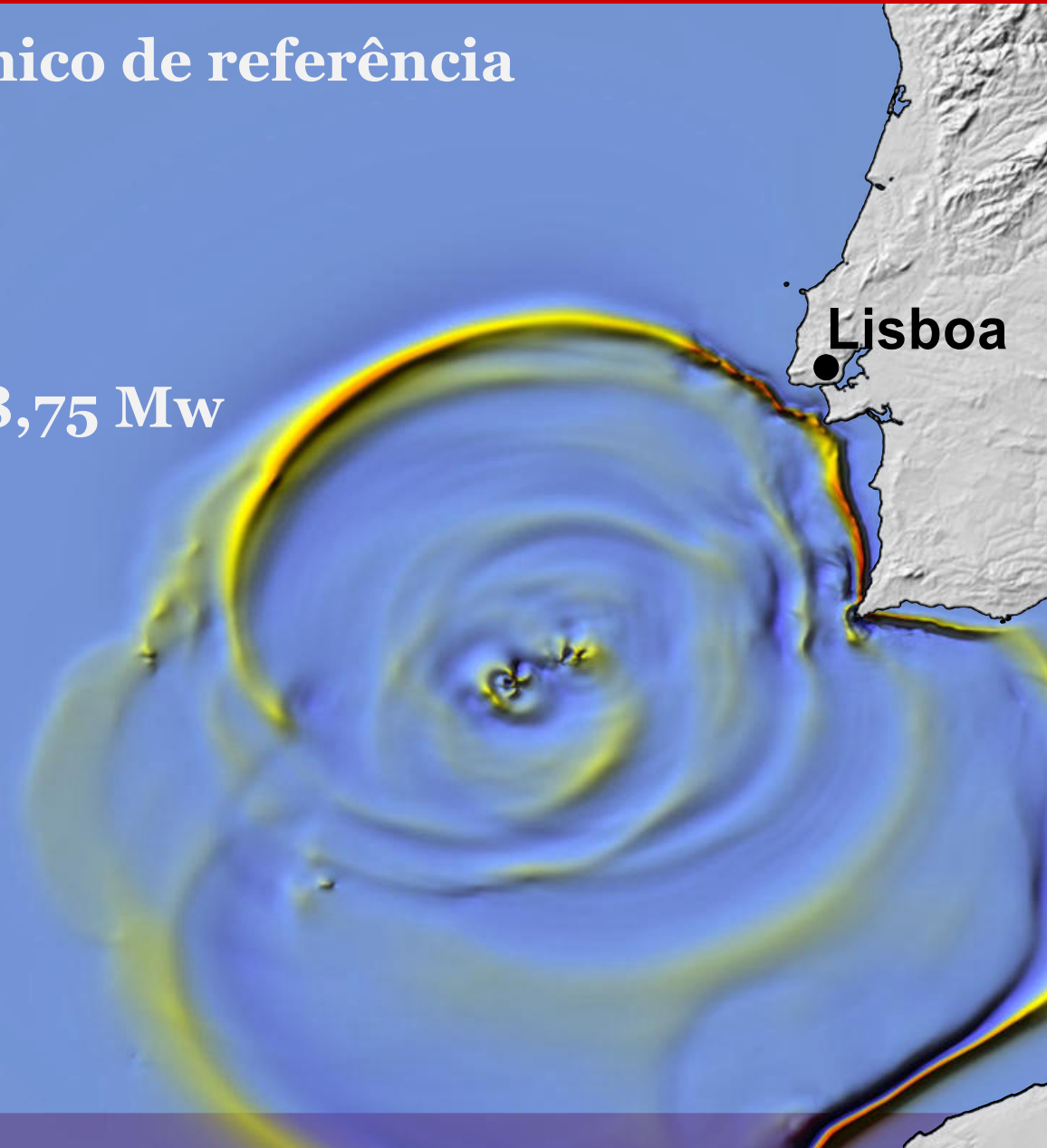
**Cenários de nível do mar, maré, sobrelevações
atmosféricas**

Cenário tsunamigénico de referência



Sismo de magnitude **8,75 Mw**

Falhas da Ferradura e
Marquês de Pombal



Nível do mar

Condições iniciais em 2050 e 2100

Nível do mar

2019 (agora)

2050

2100

Cenários de preia mar,
baixa mar +
sobreelevação
meteorológica

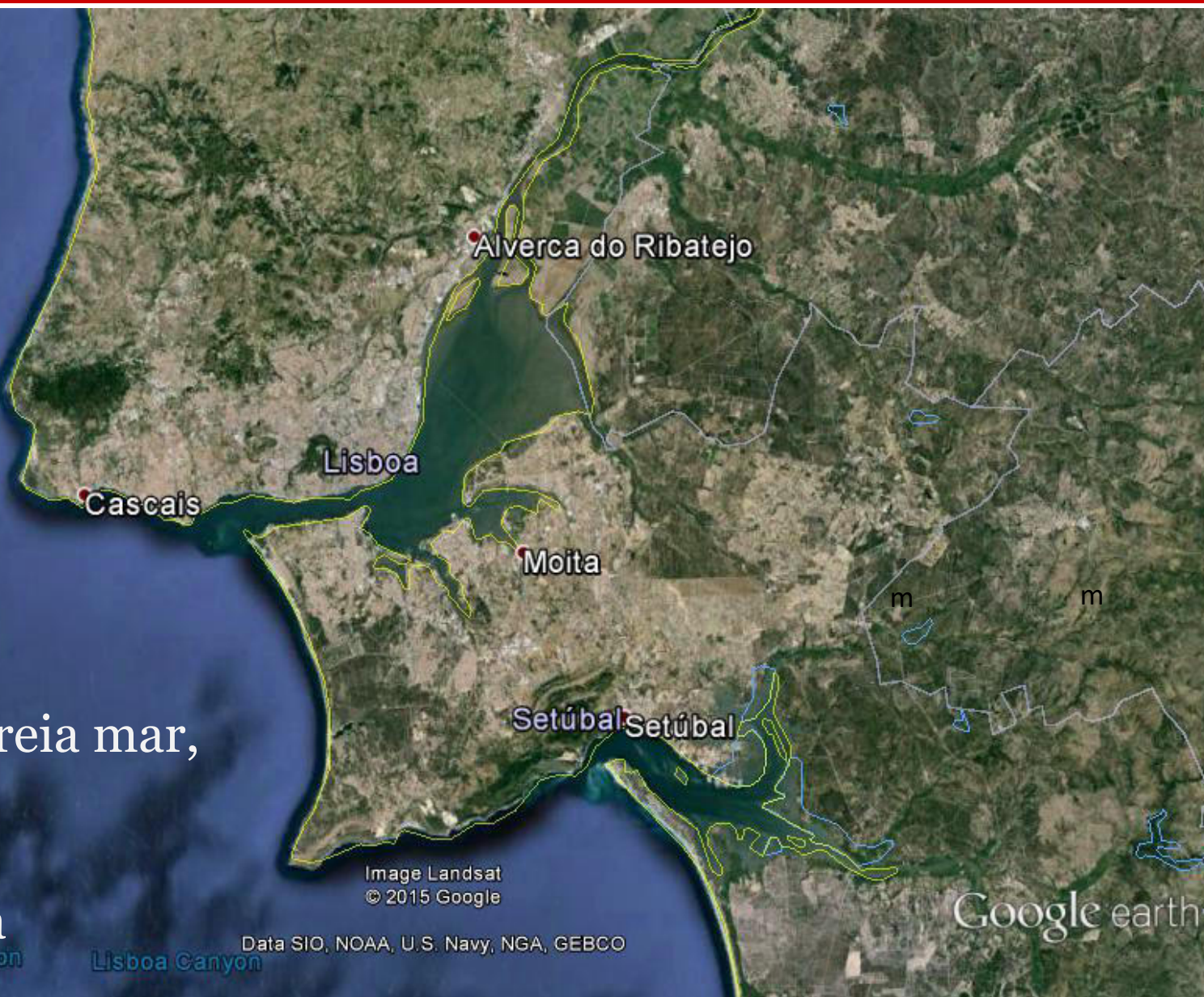
Cascais Canyon

Lisboa Canyon

Image Landsat
© 2015 Google

Google earth

Data SIO, NOAA, U.S. Navy, NGA, GEBCO



Nível do mar

Condições iniciais em 2050 e 2100

INSTITUTO
DOM LUIZ

Nível do mar

Camões Bank

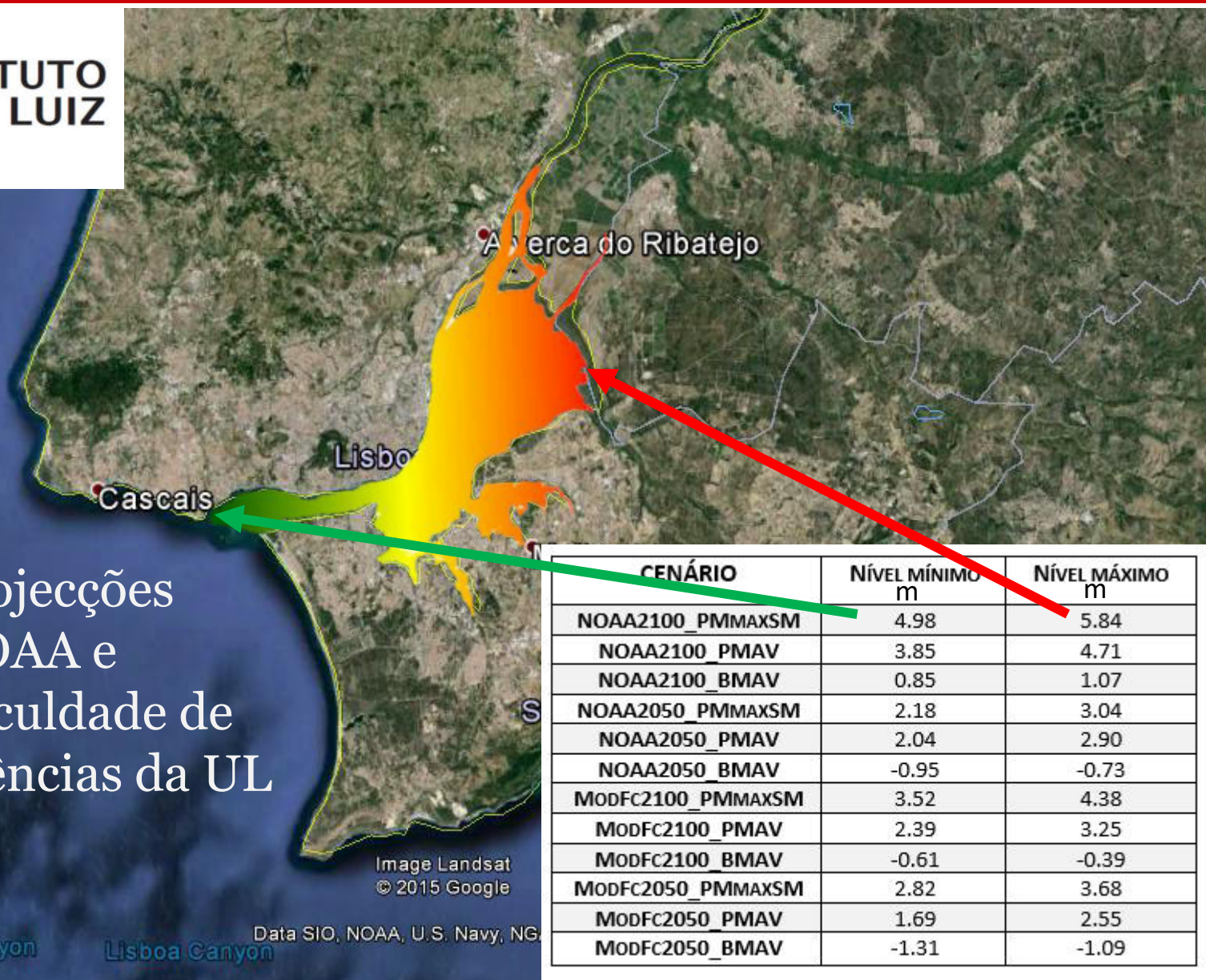
2050

2100

Projecções
NOAA e
Faculdade de
Ciências da UL

Cascais Canyon

Lisboa Canyon



Simulação matemática da inundação por tsunami de origem sísmica na cidade de Lisboa

Modelo numérico e simulações

Equipa

CERIS :

Civil Engineering Research
and Innovation for
Sustainability

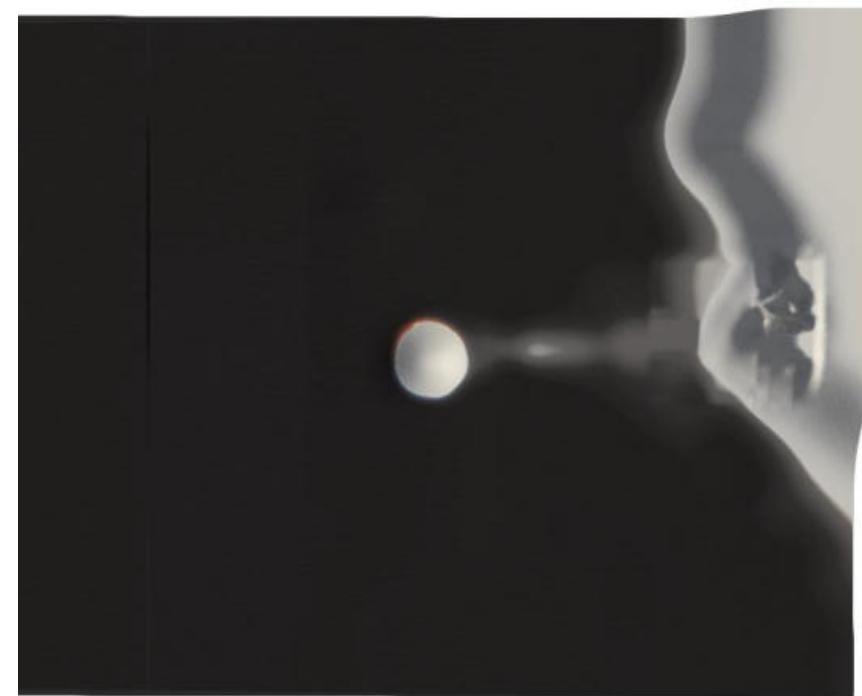
HiSTAV

ferramenta de
simulação numérica

tsunami



Monai Valley, Hokkaido-Nansei-Oki
tsunami de 1993



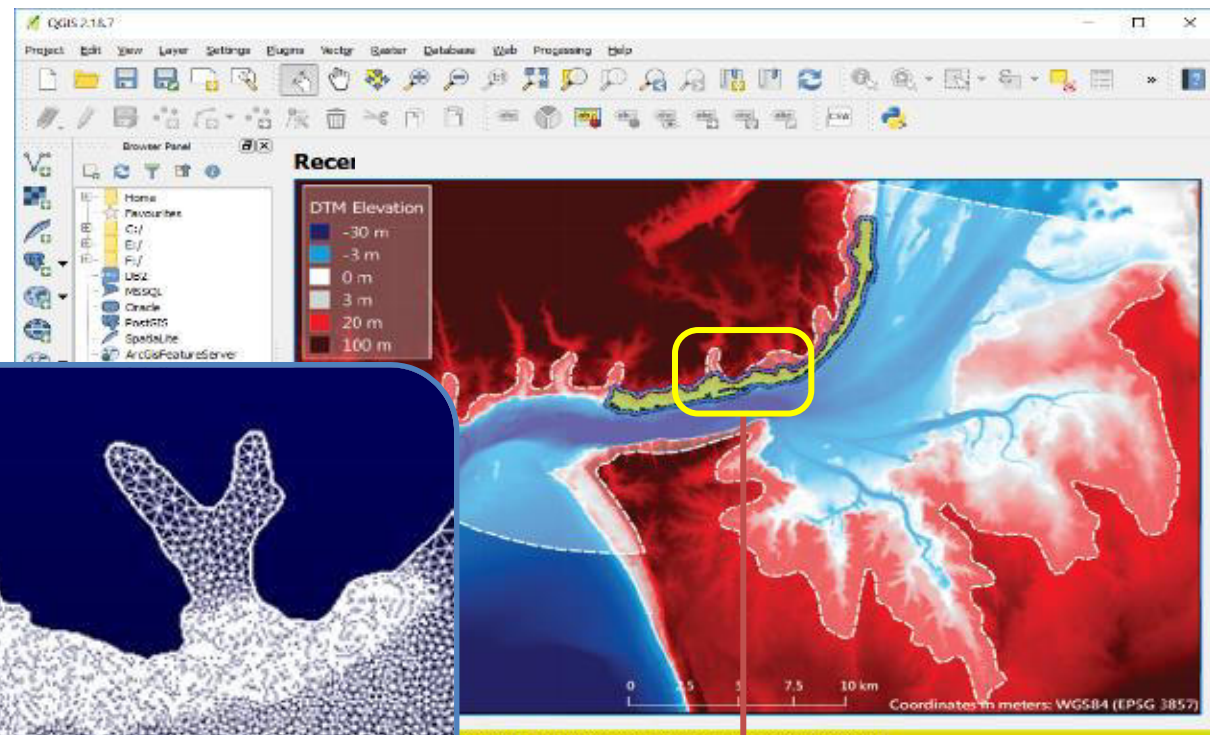
- Conde, D.A.S.; Telhado, M.J.; Viana Baptista, M.A. & Ferreira R. M. L. (2015). Severity and exposure associated with tsunami actions in urban waterfronts: the case of Lisbon, Portugal, Natural Hazards, 79: 2125, Springer.
- Conde, D.; Canelas, R.B. and Ferreira, R.M.L. (2020) A unified object-oriented framework for CPU+GPU hyperbolic solvers. Advances in Engineering Software.

Simulação numérica

HiSTAV / STAV2D

Discretização, concatenação da informação física e numérica

1.2 milhões de triângulos
– os menores com 1,5 m
de lado



Simulação numérica

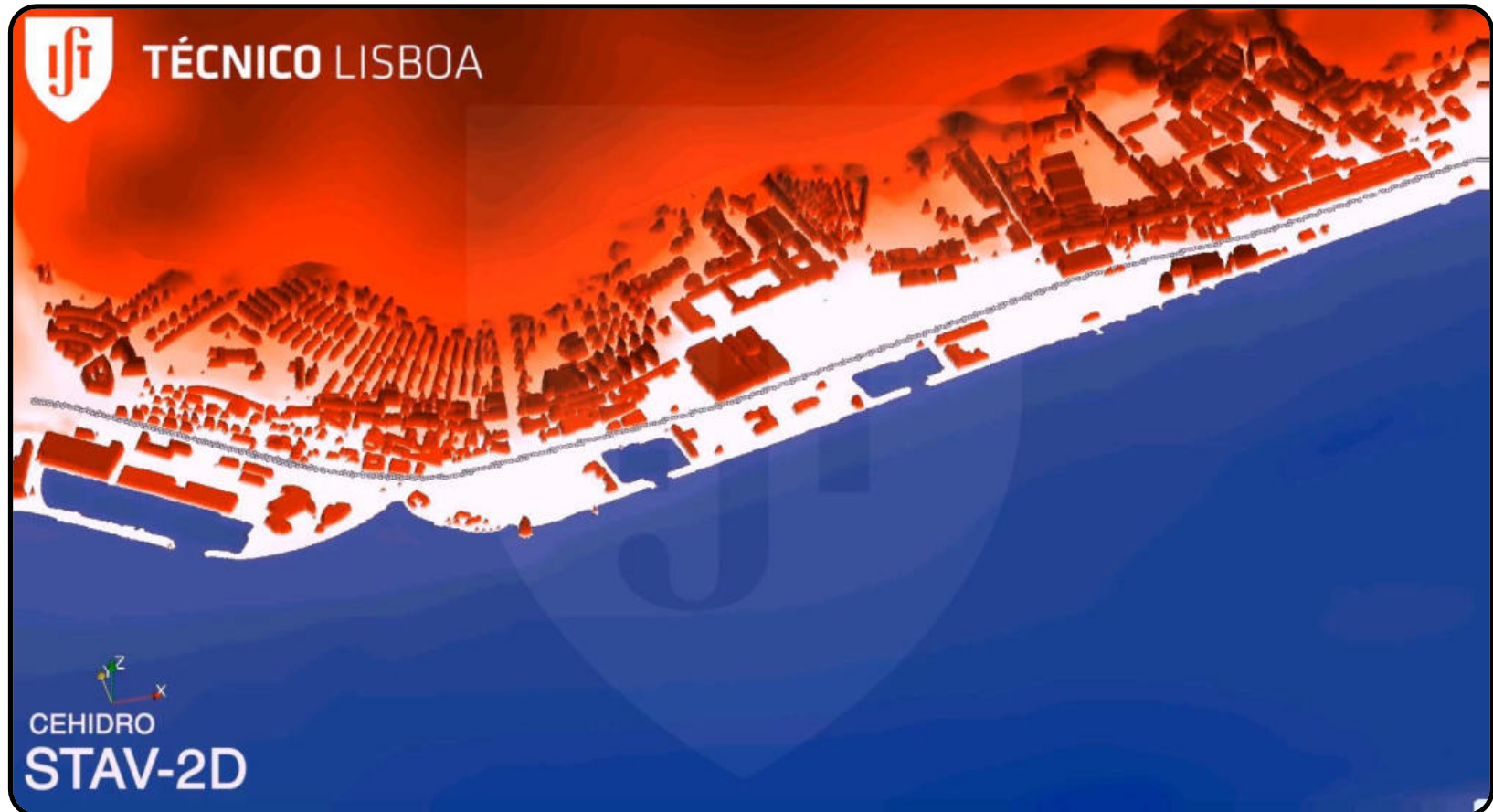
HiSTAV / STAV2D



Simulação numérica

HiSTAV / STAV2D

Tsunami originado por sismo 8.75 Mw (HS+MP);
nível do mar de 2019, preia-mar de águas vivas



Simulação numérica

HiSTAV / STAV2D



Tsunami originado por sismo 8.75 Mw (HS+MP); nível do mar de 2019, preia-mar de águas vivas
Tempos referidos à passagem no Bugio

Simulação numérica

HiSTAV / STAV2D



Tsunami originado por sismo 8.75 Mw (HS+MP); nível do mar de 2019, preia-mar de águas vivas
Tempos referidos à passagem no Bugio

Simulação numérica

HiSTAV / STAV2D



Tsunami originado por sismo 8.75 Mw (HS+MP); nível do mar de 2019, preia-mar de águas vivas
Tempos referidos à passagem no Bugio

Simulação numérica

HiSTAV / STAV2D



Tsunami originado por sismo 8.75 Mw (HS+MP); nível do mar de 2019, preia-mar de águas vivas
Tempos referidos à passagem no Bugio

Simulação numérica

HiSTAV / STAV2D



Tsunami originado por sismo 8.75 Mw (HS+MP); nível do mar de 2019, preia-mar de águas vivas
Tempos referidos à passagem no Bugio

Simulação numérica

HiSTAV / STAV2D



Tsunami originado por sismo 8.75 Mw (HS+MP); nível do mar de 2019, preia-mar de águas vivas
Tempos referidos à passagem no Bugio

Simulação numérica

HiSTAV / STAV2D



Tsunami originado por sismo 8.75 Mw (HS+MP); nível do mar de 2019, preia-mar de águas vivas
Tempos referidos à passagem no Bugio

Simulação numérica

HiSTAV / STAV2D



Tsunami originado por sismo 8.75 Mw (HS+MP); nível do mar de 2019, preia-mar de águas vivas
Tempos referidos à passagem no Bugio

Simulação numérica

HiSTAV / STAV2D



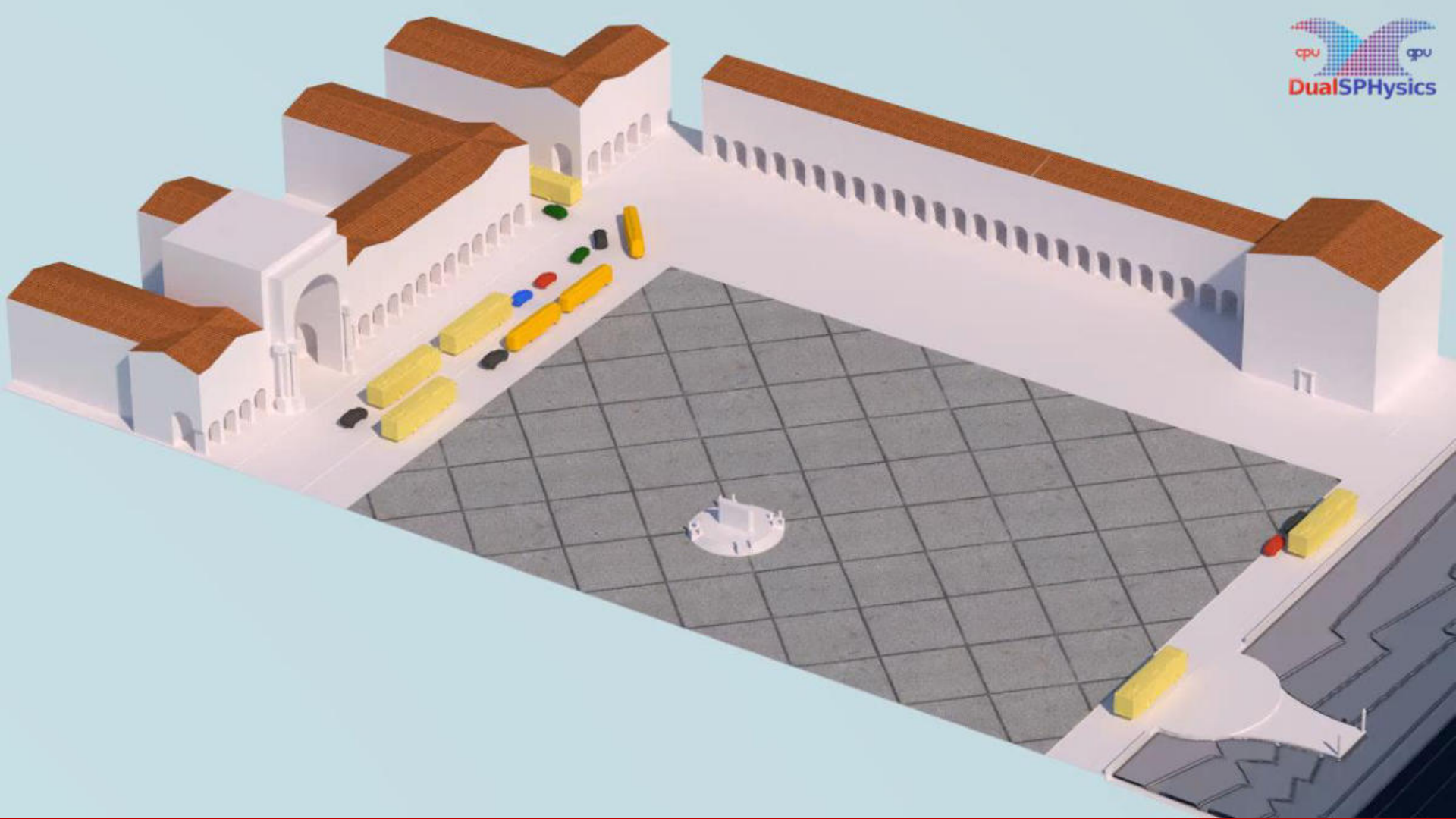
Tsunami originado por sismo 8.75 Mw (HS+MP); nível do mar de 2019, preia-mar de águas vivas
Tempos referidos à passagem no Bugio

Simulação numérica

DualSPHysics

simulação 3D de DualSPHysics, Praça do Comércio

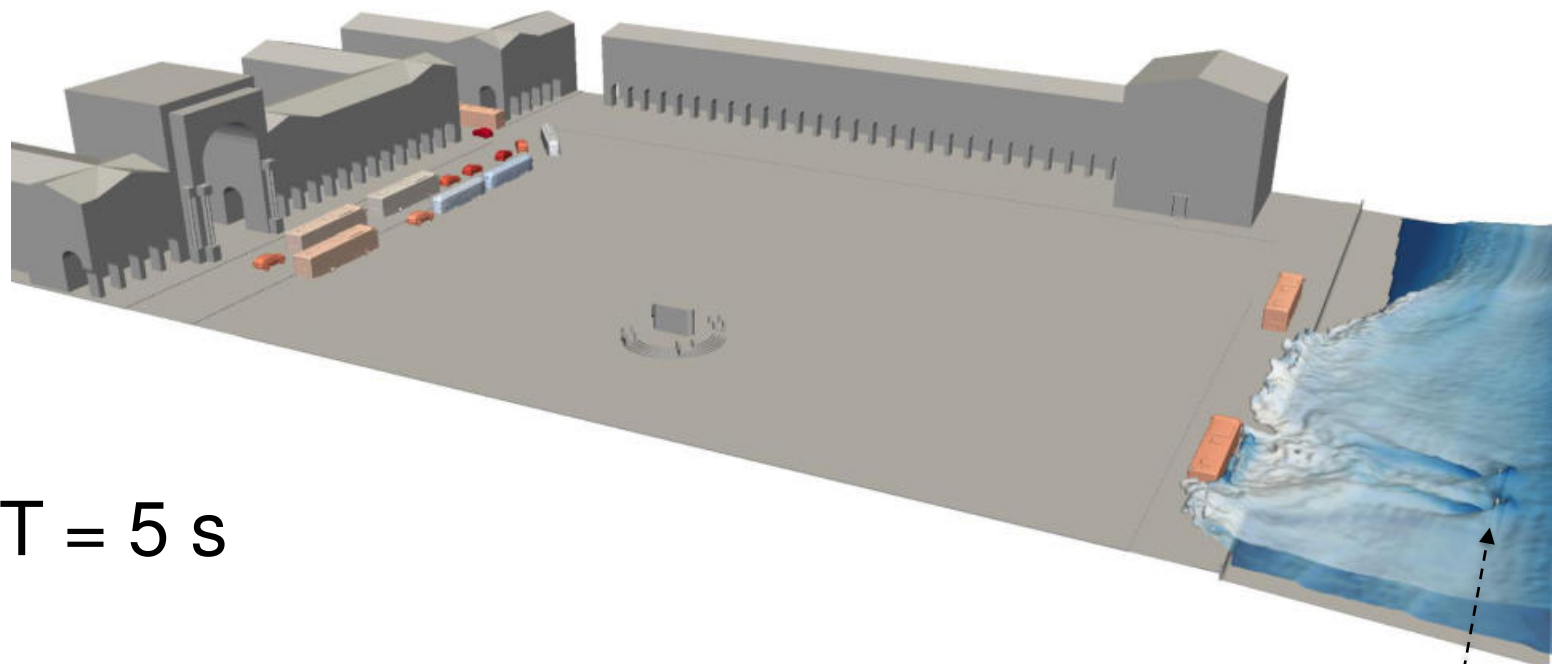
(superfície livre definida com Blender para visualização apenas)



Simulação numérica

DualSPHysics

Praça do Comércio, #1/4

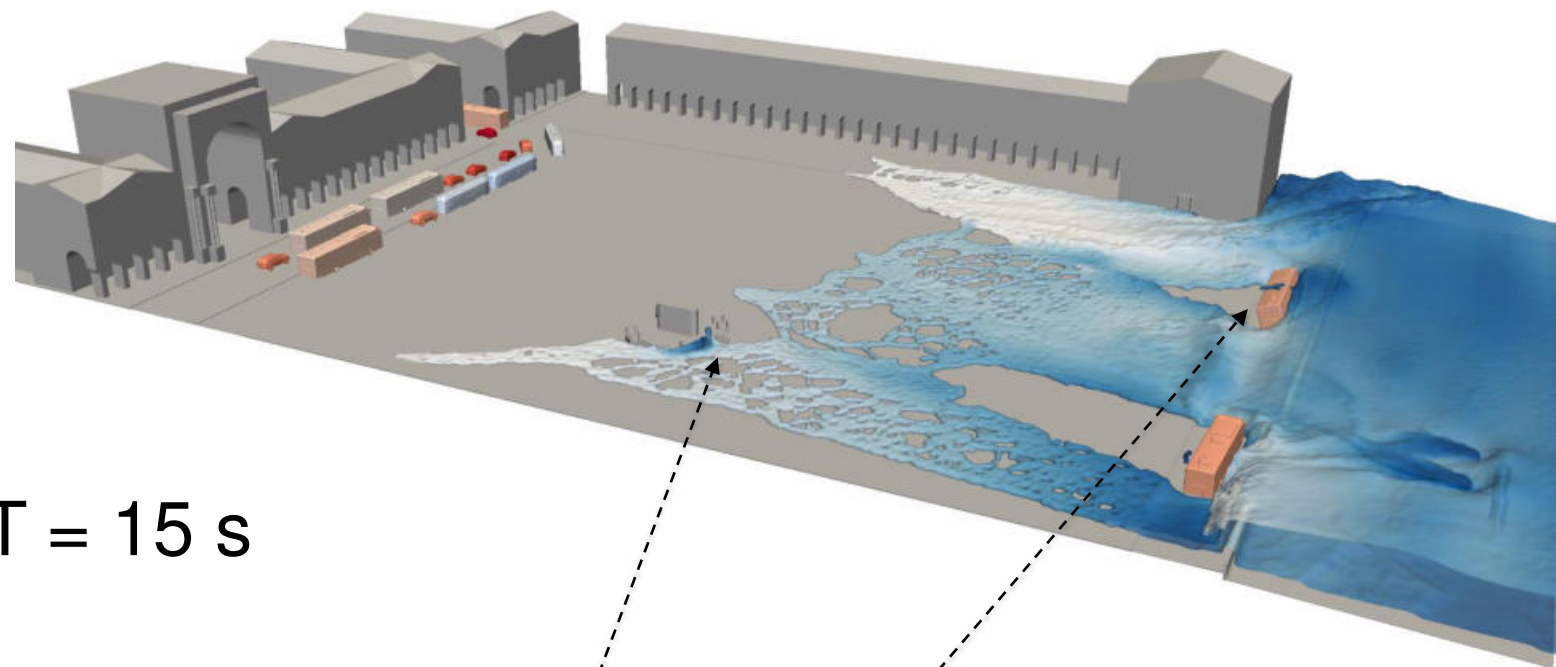


A onda incidente tem a direção 20° NE, obtida pelas simulações 2D.
Notam-se as esteiras no Cais das Colunas.

Simulação numérica

DualSPHysics

Praça do Comércio, #2/4

 $T = 15\text{ s}$

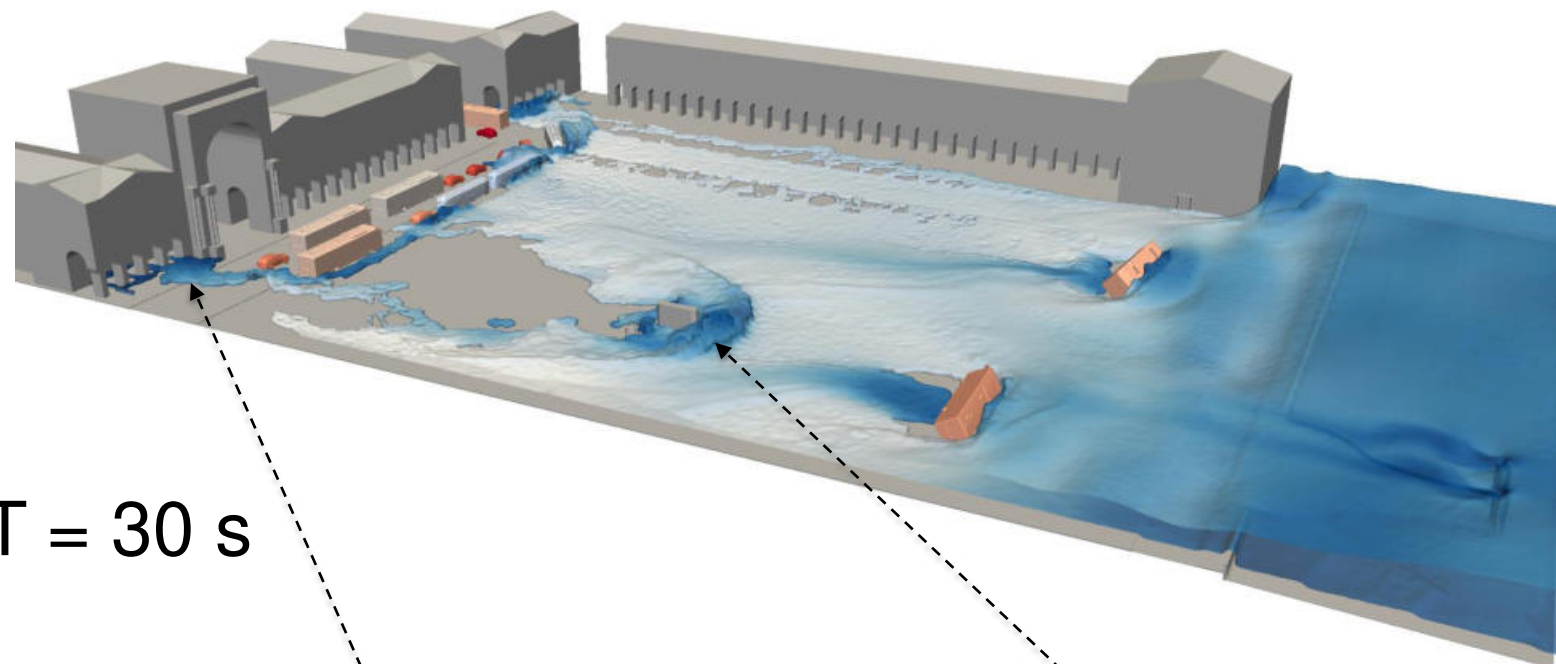
Autocarros começam a ser deslocados.

Swash na Praça do Comércio atinge estátua de D. José I

Simulação numérica

DualSPHysics

Praça do Comércio, #3/4

 $T = 30\text{ s}$

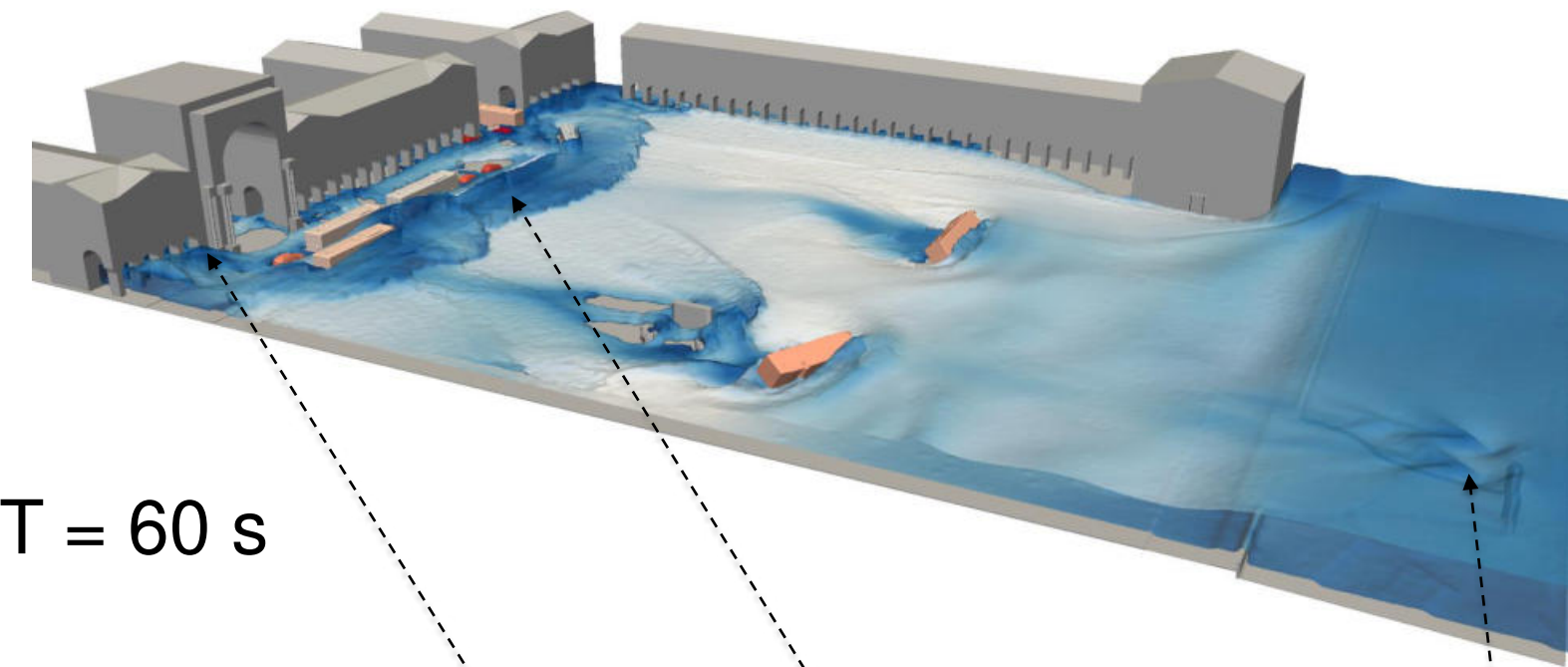
Swash atravessa a totalidade da Praça do Comércio.

Onda de choque à medida que a pressão aumenta em frente da estátua.
(velocidade da onda aprox. 4 m/s)

Simulação numérica

DualSPHysics

Praça do Comércio, #4/4

 $T = 60\text{ s}$

Arcadas inundadas. Formação de ressaltos.

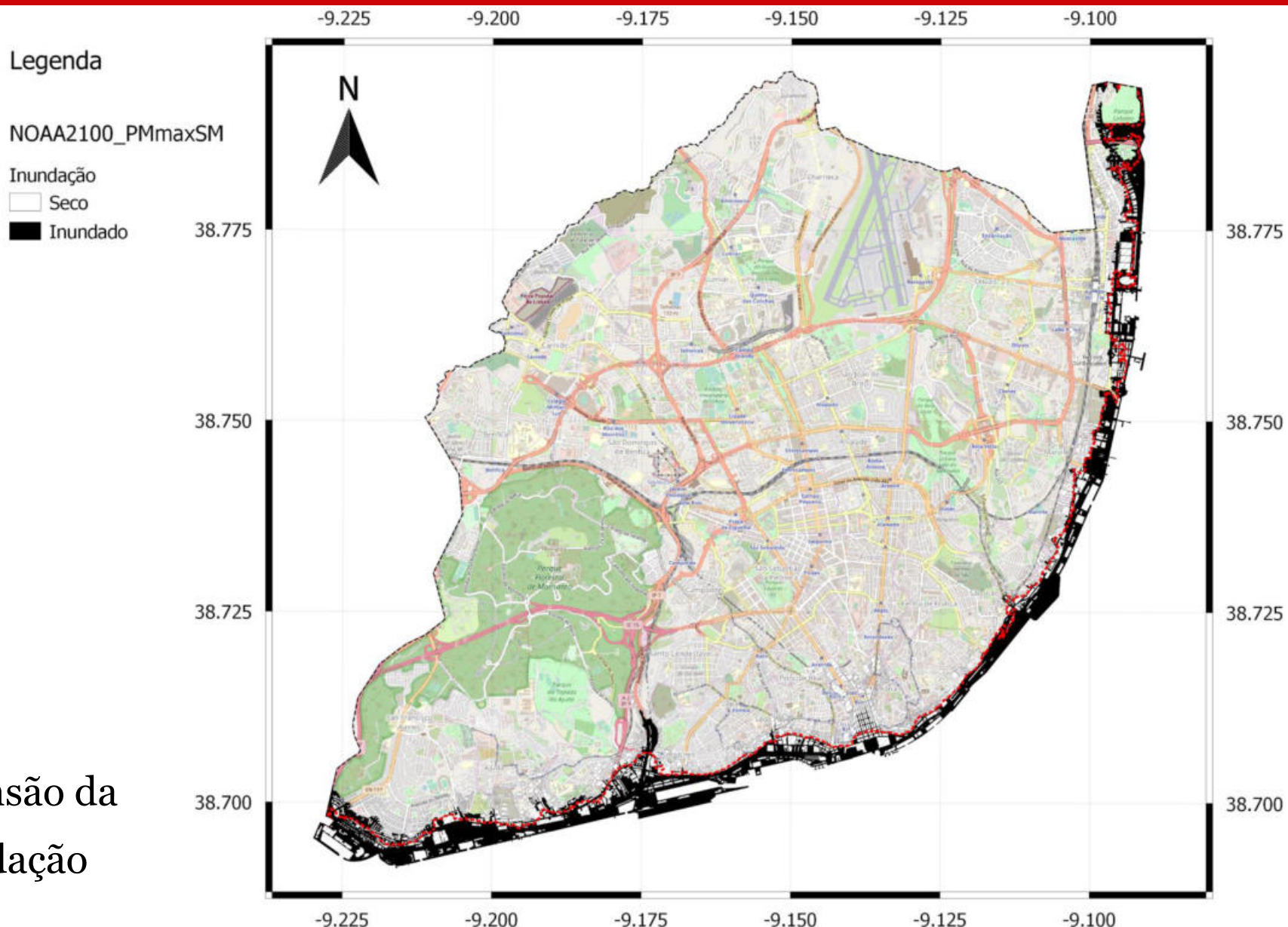
Veículos deslocados em toda a praça.
Esteiras submersas no Cais das Colunas

Simulação matemática da inundação por tsunami de origem sísmica na cidade de Lisboa

Elementos fornecidos à CML

Simulação determinística

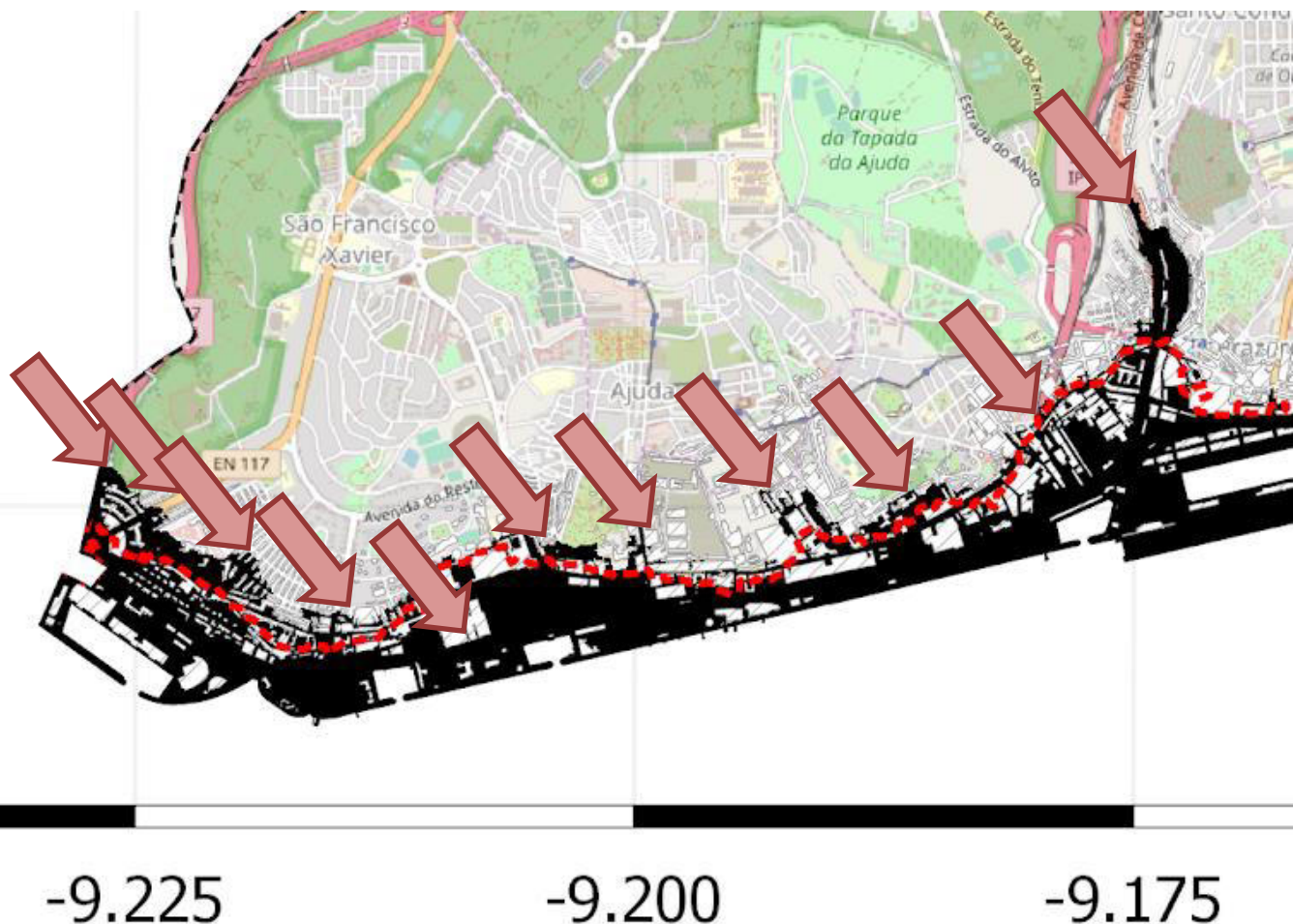
Cenário NOAA, 2100, preia-mar de águas vivas com sobreelevação meteorológica



Simulação determinística

Cenário NOAA, 2100, preia-mar de águas vivas com sobreelevação meteorológica

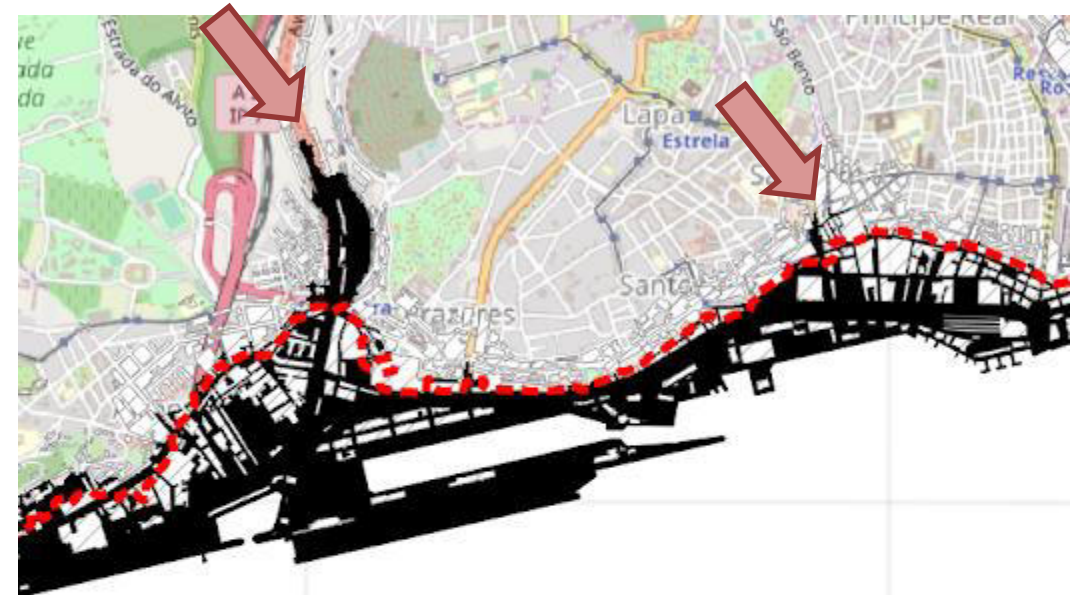
Pedrouços - Belém - Alcântara



Simulação determinística

Cenário NOAA, 2100, preia-mar de águas vivas com sobreelevação meteorológica

Alcântara – Porto de Lisboa - Santos



Extensão da
inundação



-9.175

-9.150

Simulação determinística

Cenário NOAA, 2100, preia-mar de águas vivas com sobreelevação meteorológica

Cais do Sodré – Baixa - Xabregas



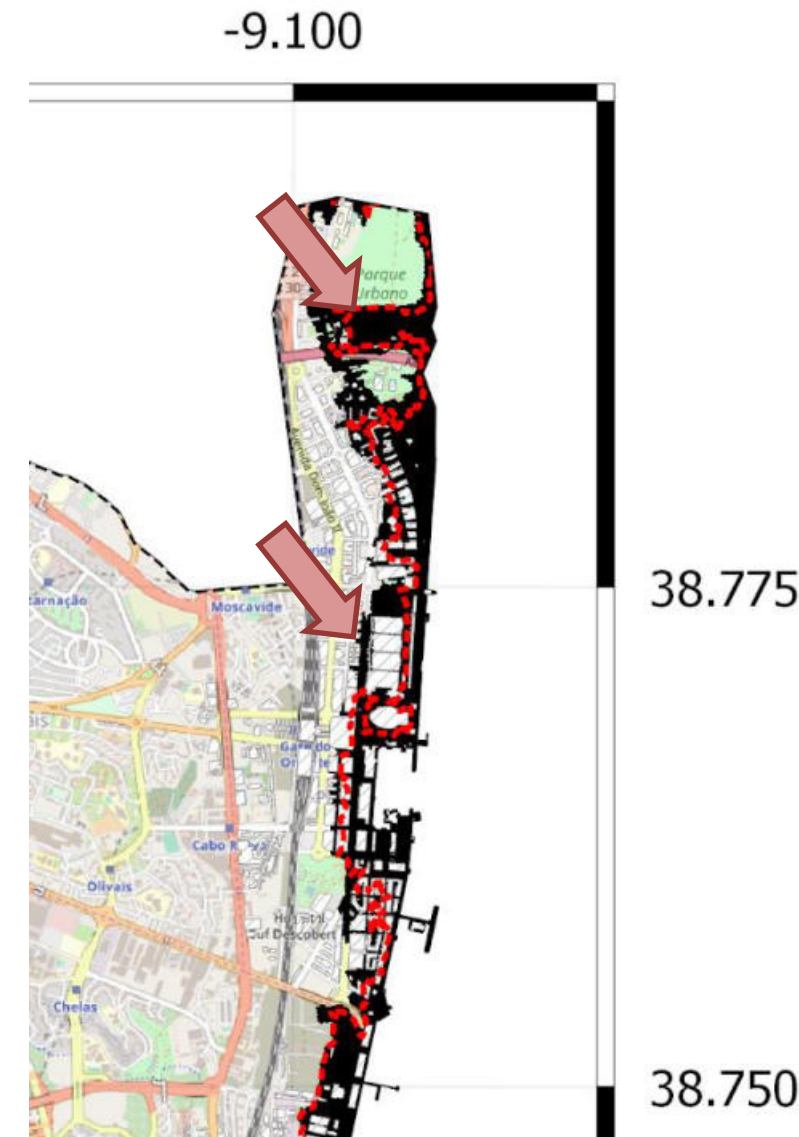
Extensão da
inundação



Simulação determinística

Cenário NOAA, 2100, preia-mar de águas vivas com sobreelevação meteorológica

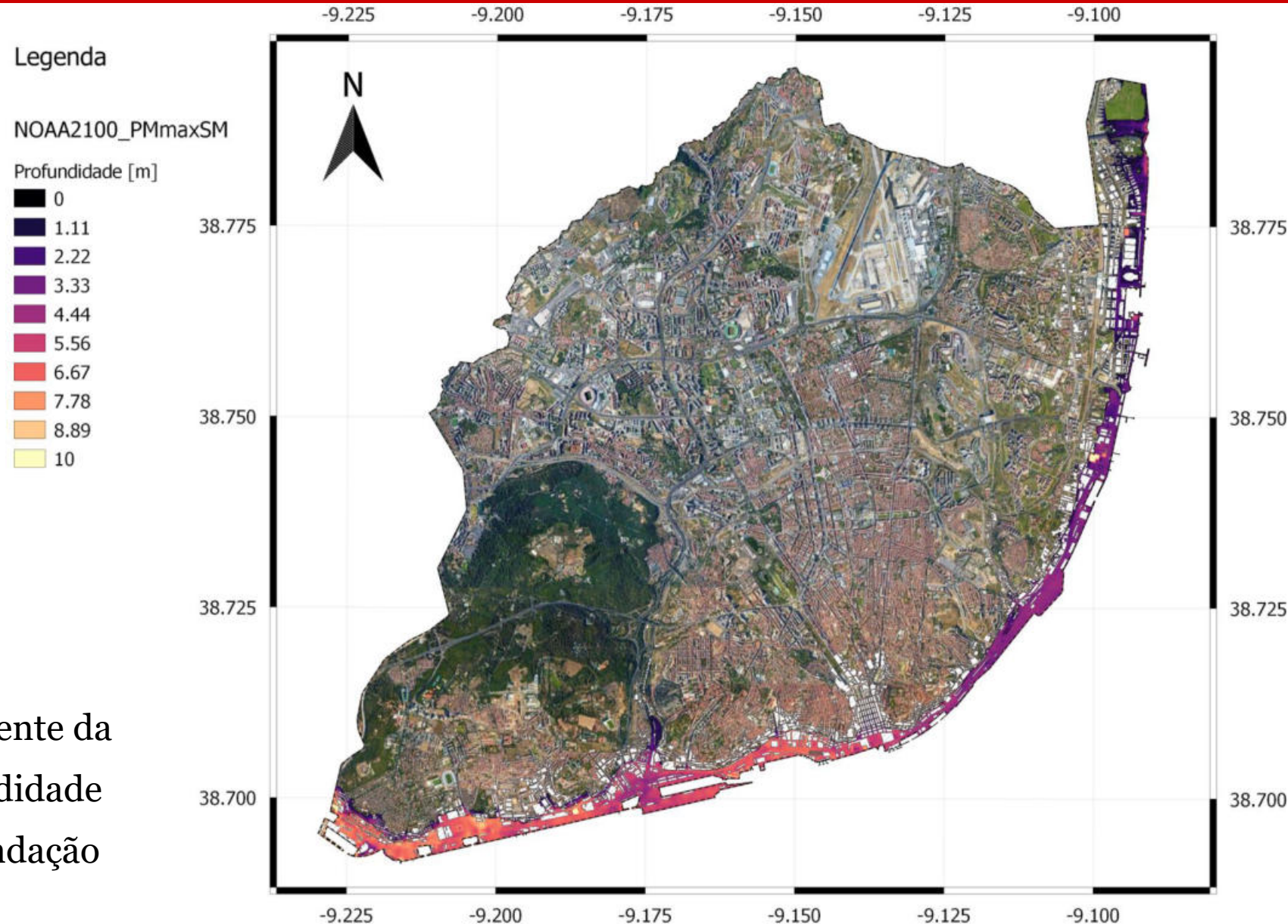
Parque das Nações - Trancão



Extensão da
inundação

Simulação determinística

Cenário NOAA, 2100, preia-mar de águas vivas com sobreelevação meteorológica



Simulação determinística

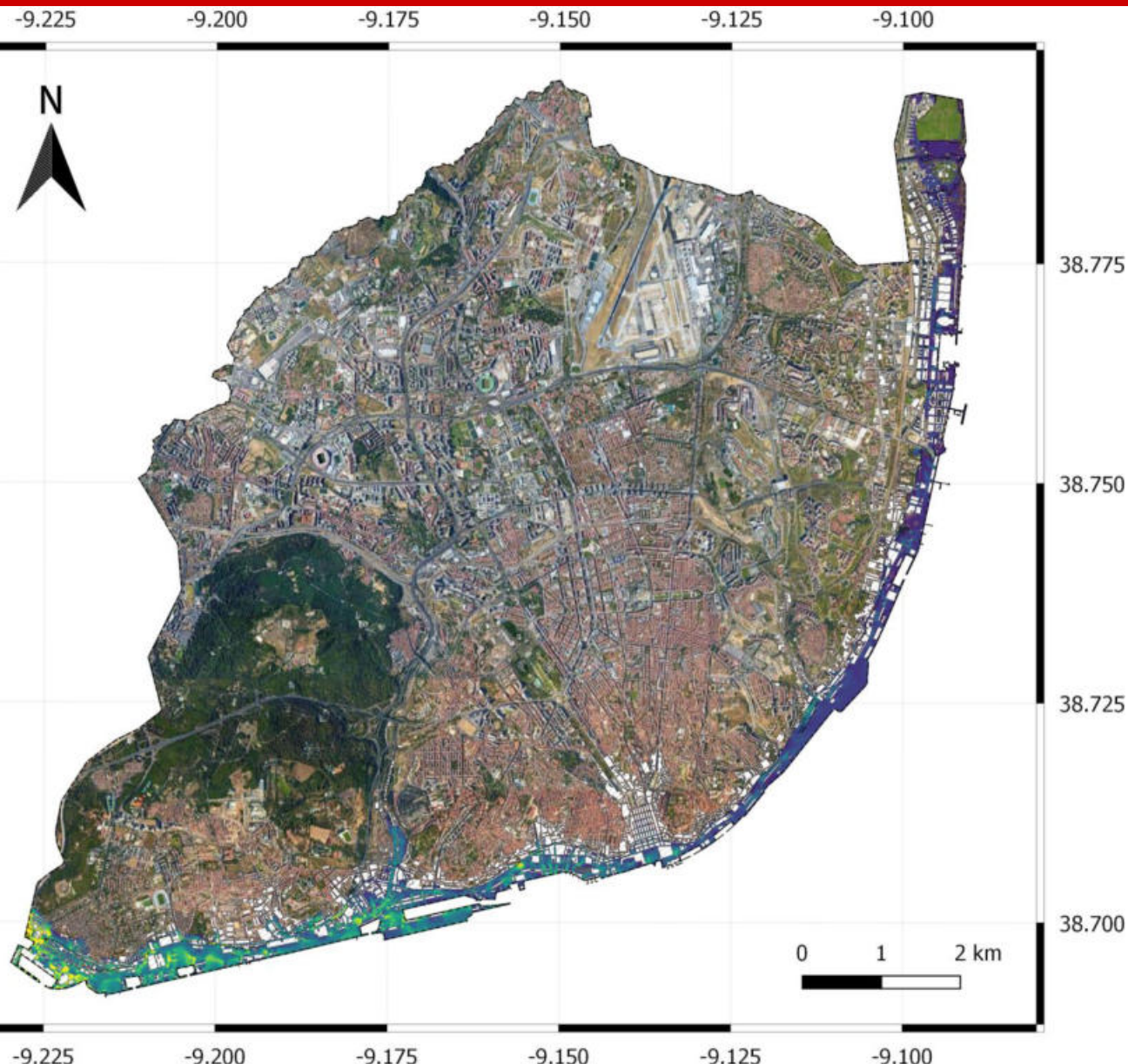
Cenário NOAA, 2100, preia-mar de águas vivas com sobreelevação meteorológica

Legenda

NOAA2100_PMmaxSM

Velocidade [m/s]

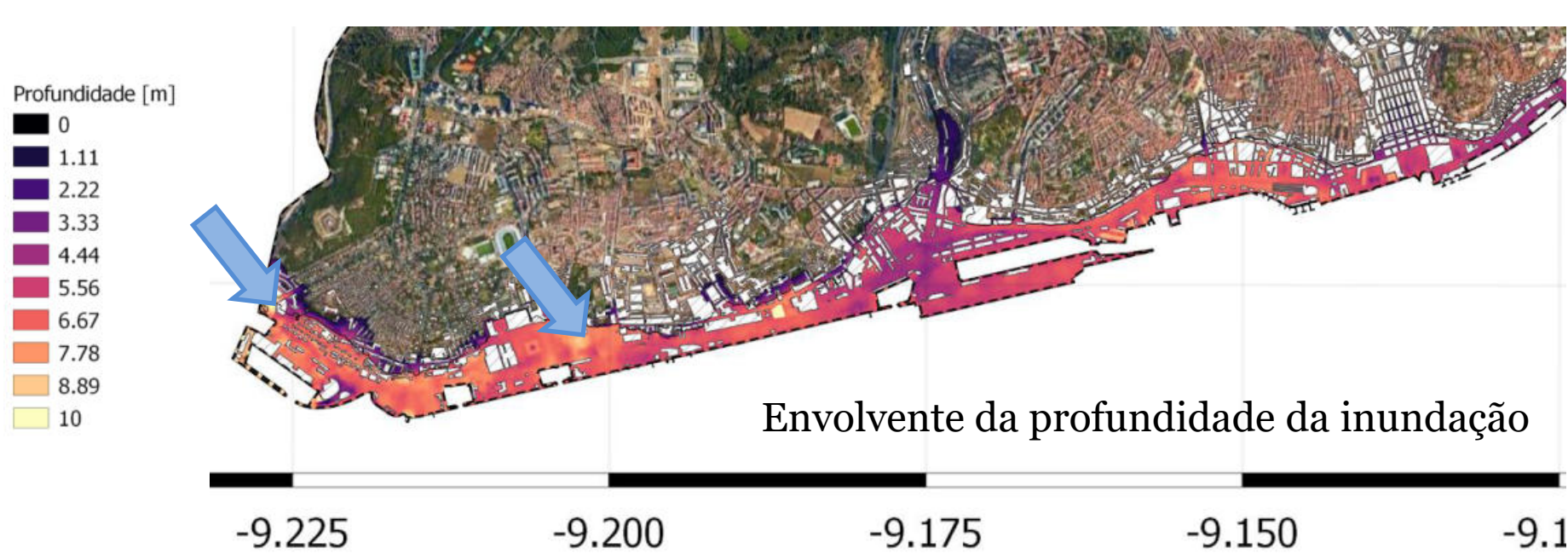
- 0.1
- 1.2
- 2.3
- 3.4
- 4.5
- 5.6
- 6.7
- 7.8
- 8.9
- 10



Envolvente da
velocidade da
corrente

Simulação determinística

Cenário NOAA, 2100, preia-mar de águas vivas com sobreelevação meteorológica

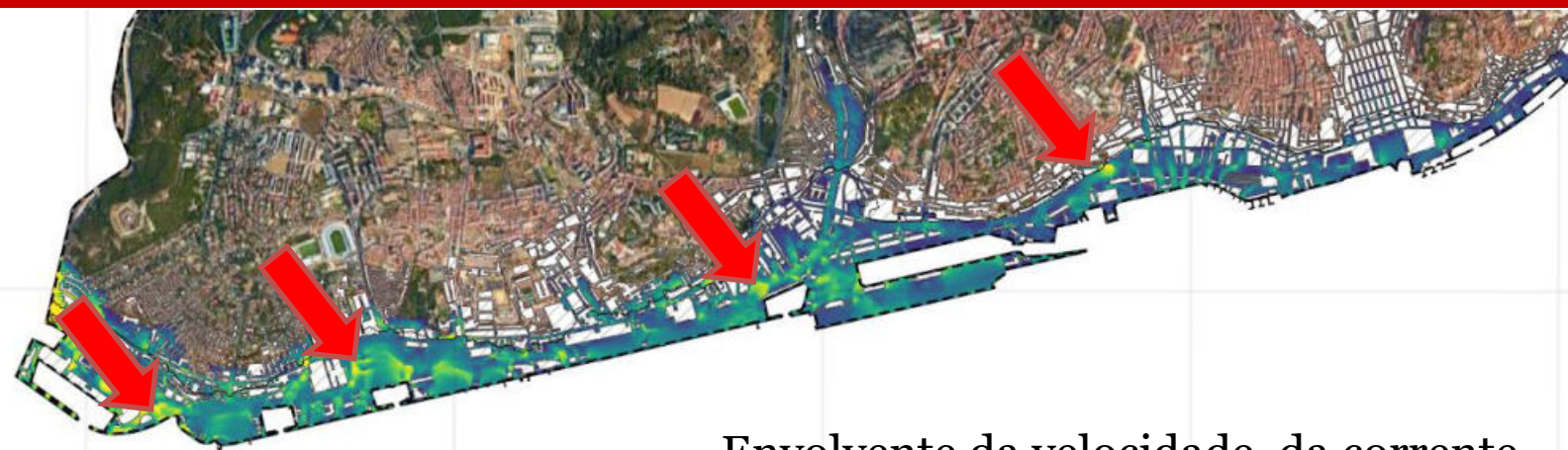


Simulação determinística

Cenário NOAA, 2100, preia-mar de águas vivas com sobreelevação meteorológica

Velocidade [m/s]

0.1
1.2
2.3
3.4
4.5
5.6
6.7
7.8
8.9
10



Envolvente da velocidade da corrente

Profundidade [m]

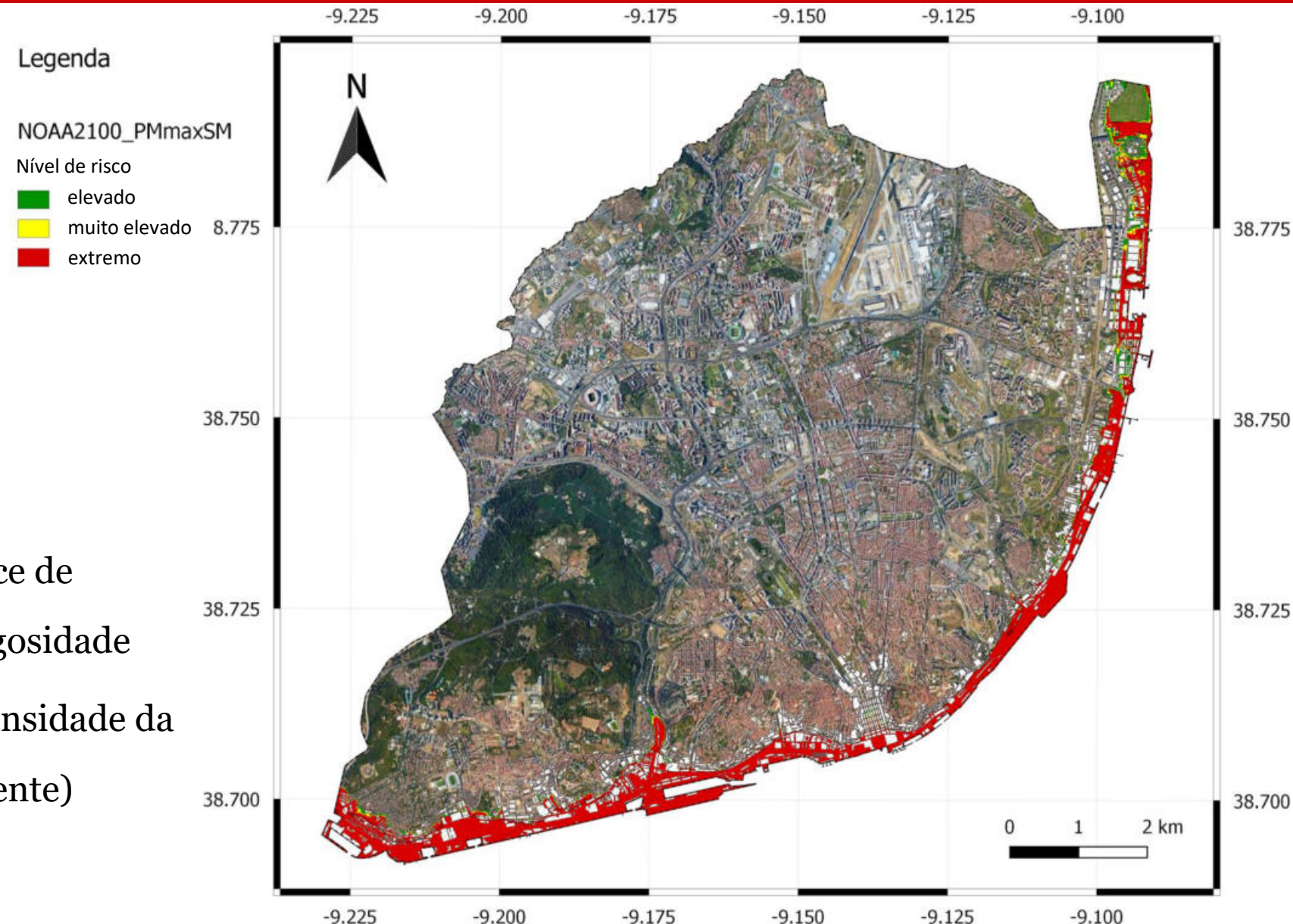
0
1.11
2.22
3.33
4.44
5.56
6.67
7.78
8.89
10



Envolvente da profundidade da inundação

Simulação determinística

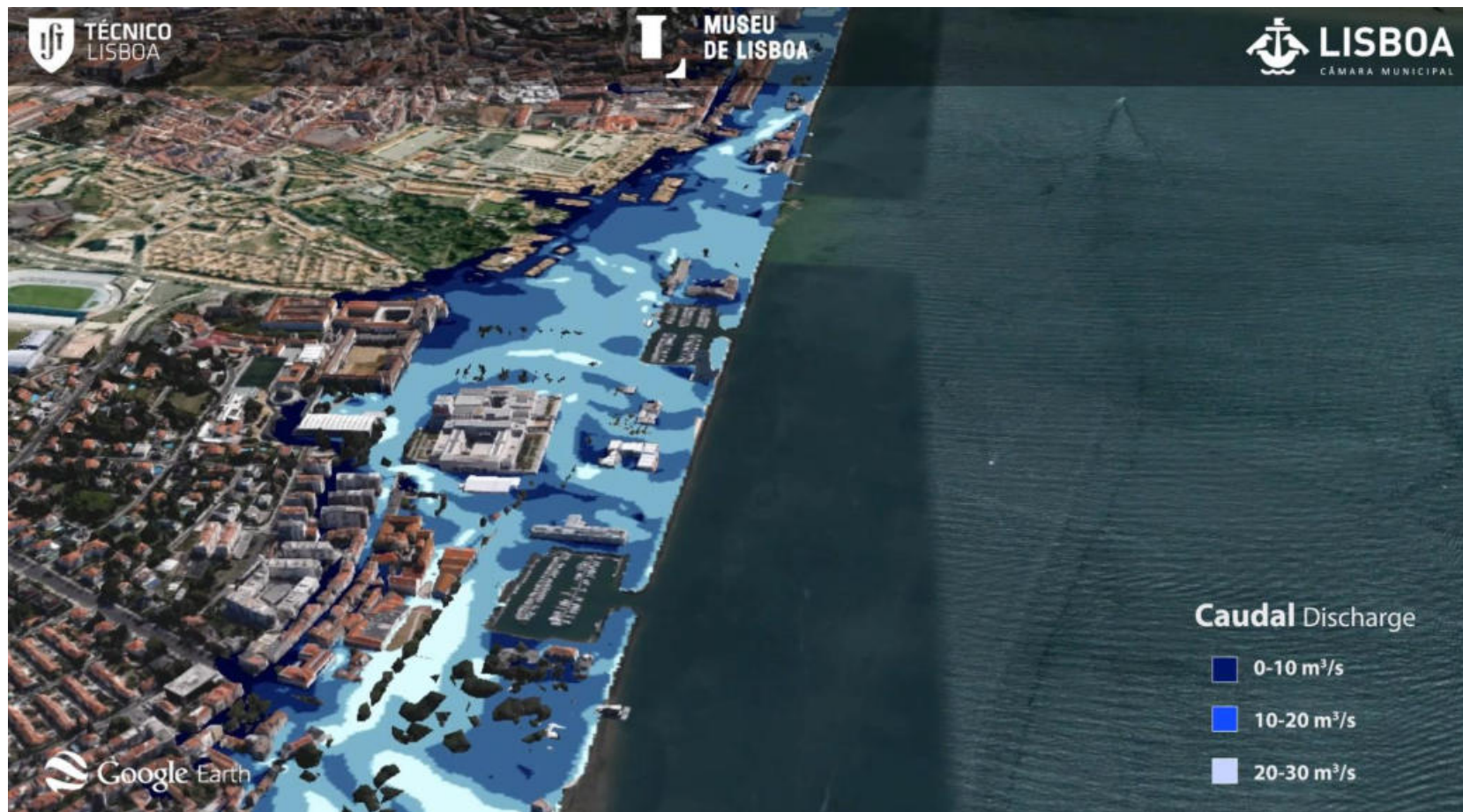
Cenário NOAA, 2100, preia-mar de águas vivas com sobreelevação meteorológica



Simulação determinística

Cenário NOAA, 2100, preia-mar de águas vivas com sobreelevação meteorológica

Índice de perigosidade (intensidade da corrente)



Considerações finais

- Regista-se máxima exposição entre Pedrouços/Belém (cotas profundidades máximas) e Alcântara (extensão máxima)
- Perigosidade extrema até Xabregas e no Parque das Nações
- Comboio e metropolitano severamente afectados



Nível acima dos 4 m no Cais do Sodré, durante 40 min

Considerações finais

- Equipamentos vulneráveis acima da Cota 10 – critério adequado para grande parte de Lisboa, agora e até 2050 (exceptua-se a zona de Pedrouços/Belém em 2050)
- Locais seguros na zona ocidental – F Champalimaud, MAAT, Hospital CUF, ... (atenção às grandes distâncias a percorrer e barreiras fícticas – linha do comboio, etc)

Considerações finais

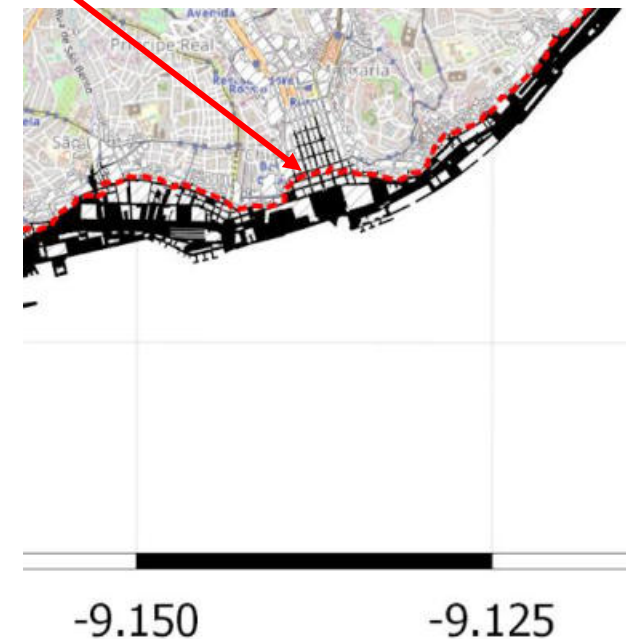
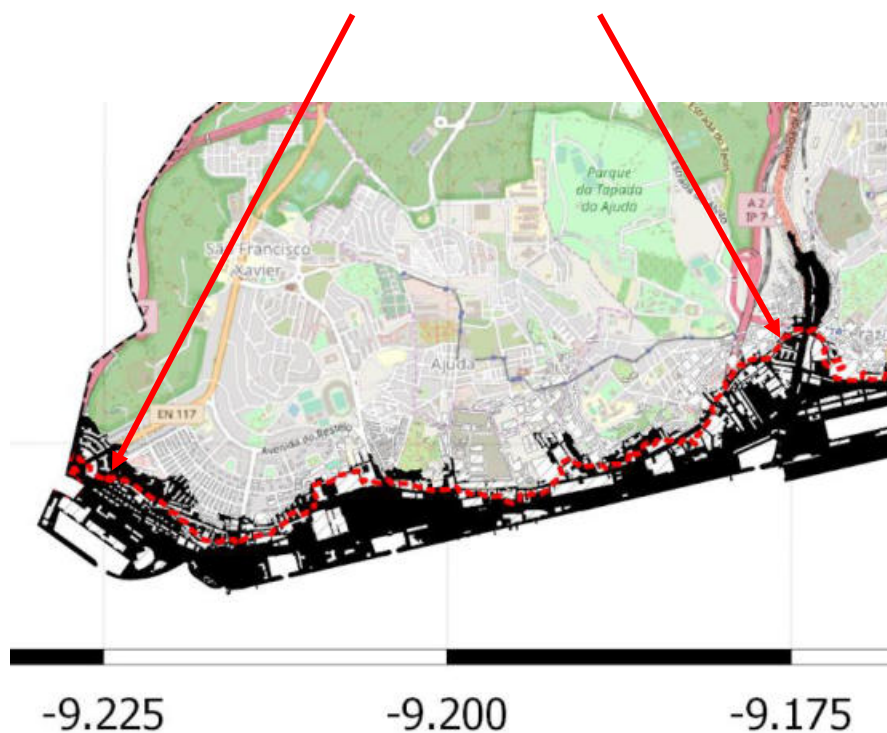
- Inundação em 2050 e em 2100 – grande parte da zona ribeirinha de Lisboa pode já estar inundada pela subida das águas do mar

Simulação determinística

Considerações finais

- Inundação em 2050 e em 2100 – grande parte da zona ribeirinha de Lisboa pode já estar inundada pela subida das águas do mar

Inundação associada ao nível do mar em 2100 (preia-mar de águas vivas)



Obrigado pela atenção

Equipa Científica



Instituto Superior Técnico

Rui M.L. Ferreira

Daniel Conde

Agradece a:

Maria João Telhado, Luísa Coelho, Sofia Baltazar, Paulo Henriques, (CML)
Lucília Guerreiro, António Miranda, Joana Gomes (CML)
Marco Morais, Pedro Lourenço, Pedro Vieira (CML)
Susana Tibúrcio

